

# Kategorie:Chemie

## Pages in category "Chemie"

The following 142 pages are in this category, out of 142 total.

### A

- Acidobazická rovnováha
- Acidobazické indikátory
- Acidobazické reakce
- Alkoholy a fenoly
- Aminotransferázy
- Analytická chemie
- Arsenazo III
- Atom
- Atomová absorpcní fotometrie
- Atomové jádro
- Automatické pipety
- Avogadrova konstanta

### B

- Barevnost látek
- Biobanky
- Biochemická vyšetření jater
- Bod ekvivalence
- Bohrův model
- Bürkerova komůrka

### C

- Centrifugace
- Chemická rovnováha
- Chemická sloučenina
- Chemická vazba
- Chemické reakce
- Chemické vlastnosti hlavních biogenních prvků
- Chemie
- Chloramin B
- Chromatografie
- Co pohání naše buňky

### D

- Dezinficiencia a antiseptika
- Dialýza roztoků
- Důsledky a důvody pocení při fyzické aktivitě

### E

- Elektrochemie
- Elektrodové děje
- Elektrodové děje/Elektrochemický potenciál
- Elektrodový potenciál
- Elektrolýza
- Enzymy (1. LF VL, Lékařská chemie a biochemie 1. paralelka)

### F

- Fenolftalein
- Fenylalanin
- Filtrace
- Fluorimetrie
- Fosfatidylcholin
- Fotoluminiscence
- Fyzikálně-chemické vlivy působící na činnost enzymů

- Gelová permeační chromatografie
- Glucose
- Glukóza
- Glycerol
- Guajakol

## H

- Hemostáza
- Hendersonova-Hasselbalchova rovnice
- Hendersonova-Hasselbalchova rovnice/odvození
- Hlavní znečišťující faktory vody

## I

- Indukční efekt
- Intoxikace alkoholy
- Intoxikace oxidem uhelnatým
- Invertní cukr
- Izolace agranulocytů z periferní krve

## K

- Koenzym A
- Kofein
- Kombinované poruchy acidobazické rovnováhy
- Komplexní sloučeniny
- Konduktometrie
- Koordinační reakce
- Koordinačně kovalentní vazba
- Korekce a kompenzace poruch acidobazické rovnováhy
- Kvalitativní analýza prvků důležitých z hlediska biologie a toxikologie
- Kyselina trihydrogenfosforečná
- Kyslík

## L

- Lipoprotein (a)
- Luminimetrie
- Luminiscenční metody
- Lysozym
- Látková koncentrace

## M

- Mapování genomu
- Metabolická acidóza
- Metabolická alkalóza
- Metanol
- Monitorování vnitřního prostředí v intenzivní péči
- Mutace
- Měření objemů
- Měření pH

## N

- Nitrotetrazoliová modř
- Názvosloví anorganických sloučenin síry

## O

- Odměrná analýza
- Osmolalita
- Oxidoredukční enzymy

## P

- Periodická tabulka prvků
- PH
- PH silných kyselin a zásad
- PH solí
- PH-metrie

- Pipetování
- Plamenová emisní fotometrie
- Polarimetrie
- Polystyren
- Poruchy acidobazické rovnováhy
- Portál: Praktická cvičení z biochemie
- Principy léčby poruch acidobazické rovnováhy
- Práce s roztoky
- Pufry
- Pufry, pufrační kapacita, oxidoredukce, elektrodové děje (1. LF UK, VL)
- Přibližné rozpustnosti iontových sloučenin
- Příklady anorganických sloučenin významných v medicíně a toxikologii
- Příprava odměrných činidel

## R

- Radioimunoanalýza (RIA)
- Radiolýza
- Redoxní potenciál
- Rekon
- Relativní hustota moči
- Relativní hustota moči/stanovení
- Respirační acidóza
- Respirační alkalóza
- Roztok

## S

- Sacharáza
- Schiffovo činidlo
- Silikagel
- Skleněná elektroda
- Skleněná elektroda/podrobnosti
- Součin rozpustnosti
- Součiny rozpustnosti iontových sloučenin
- Spektrofotometrie
- Srážecí reakce
- Standardní podmínky
- Standardní vodíková elektroda
- Stanovení enzymové aktivity
- Stanovení metabolické aktivity buněk MTT testem
- Stanovení počtu buněk a jejich viability
- Stanovení počtu buněk, jejich viability a metabolické aktivity
- Steroly
- Síly působící mezi molekulami

## T

- Teorie kyselin a zásad
- Titrační křivka
- Tollensova zkouška
- Turbidimetrie

## V

- Vyšetření moči
- Vyšetření moči/chemické
- Vyšetření moči/Fyzikální

## W

- Warburgův optický test

## Z

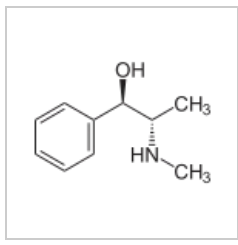
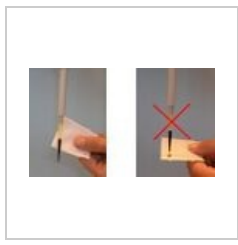
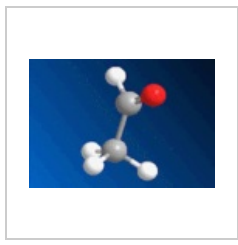
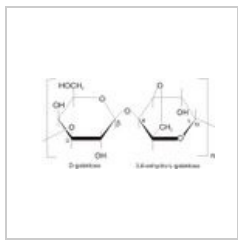
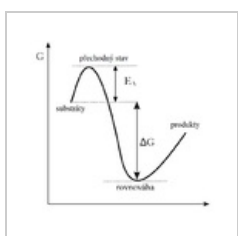
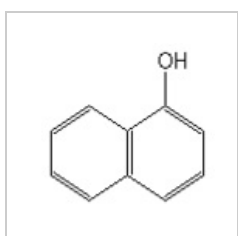
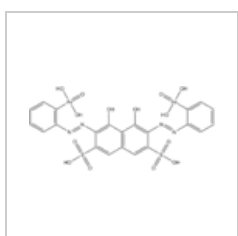
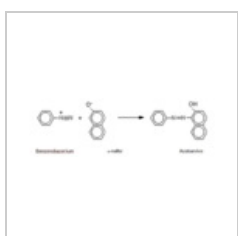
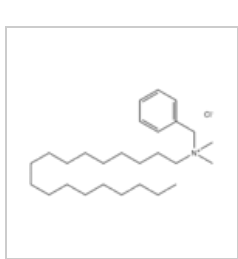
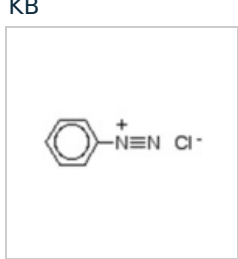
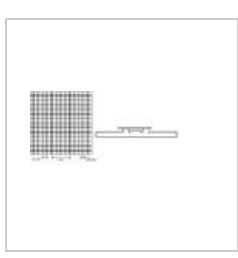
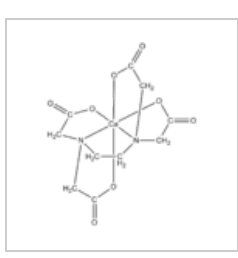
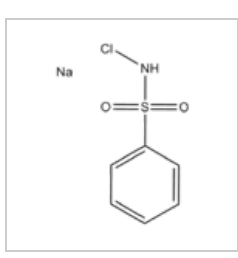
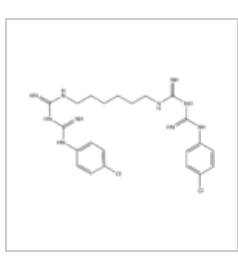
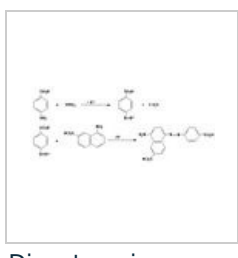
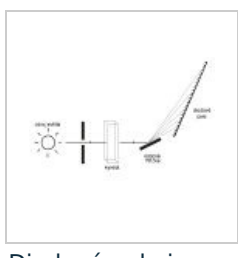
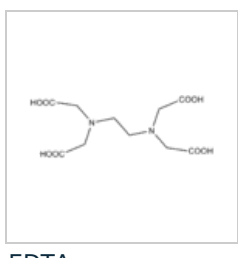
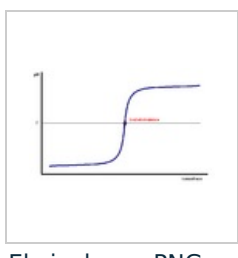
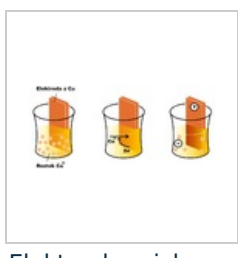
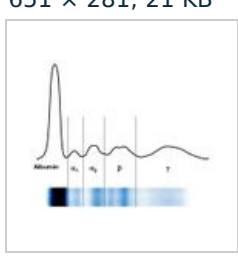
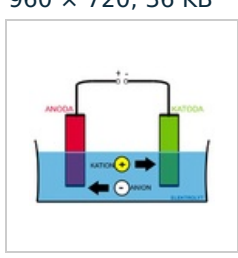
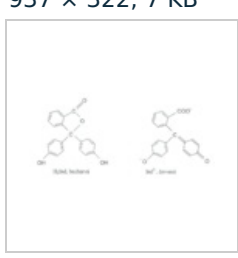
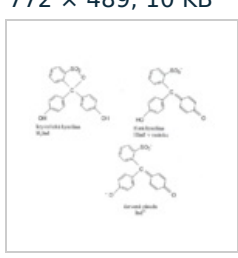
- Základní techniky práce s tkáňovými kulturami
- Základy organické chemie (1.LF VL)

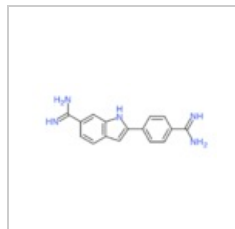
## Ú

- Úvod do práce v biochemické laboratoři

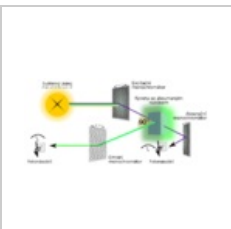
## Media in category "Chemie"

The following 107 files are in this category, out of 107 total.

 (-)-Ephedrin.svg 207 × 141; 14 KB	 3.jpg 249 × 145; 4 KB	 A.jpg 2,592 × 1,944; 985 KB	 Acetaldehyd.gif 320 × 220; 2.71 MB	 Agarosa.jpg 592 × 292; 24 KB
 Aktivacni-energie-... 639 × 611; 21 KB	 Alfa-naftol.png 122 × 113; 1 KB	 Analyzator.JPG 479 × 360; 35 KB	 Arsenazo III.png 1,537 × 701; 22 KB	 Azokopulační rea... 633 × 198; 21 KB
 Azokopulační rea... 688 × 133; 15 KB	 B.jpg 2,592 × 1,944; 976 KB	 Benzalkonium ch... 1,019 × 596; 8 KB	 Benzendiazoniu... 233 × 89; 5 KB	 Bubliny1.jpg 43 × 105; 1 KB
 Burkerova komur... 741 × 352; 34 KB	 Ca-EDTA.jpg 1,016 × 144; 20 KB	 Ca-EDTA.png 830 × 1,014; 17 KB	 Chloramin B.png 441 × 596; 5 KB	 Chlorhexidin.png 1,356 × 851; 15 KB
 Diazotace.jpg 651 × 281; 21 KB	 Diodové pole.jpg 960 × 720; 36 KB	 EDTA.png 937 × 322; 7 KB	 Ekvivalence.PNG 772 × 489; 10 KB	 Elektrochemicky ... 900 × 406; 146 KB
 Elektroforéza.jpg 631 × 521; 36 KB	 Elektrolyza.png 400 × 300; 31 KB	 Fenolftalein.png 881 × 411; 58 KB	 Fenolová červeň.... 744 × 665; 66 KB	 Filtrace.png 671 × 1,405; 23 KB



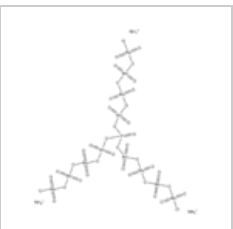
Fluorescencni so...  
382 × 161; 16 KB



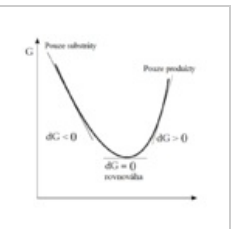
Fluorimeter diagr...  
1,050 × 500; 36 KB



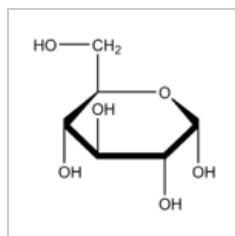
Fosfatidylcholin.p...  
1,605 × 2,034; 48 KB



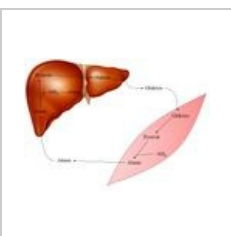
Fosfomolybdena...  
1,690 × 1,906; 39 KB



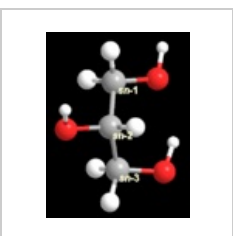
Gibsova-E---cj.png  
640 × 612; 25 KB



Glukóza.png  
1,207 × 1,124; 18 KB



Glukózo-alaninov...  
873 × 623; 78 KB



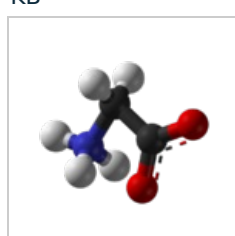
Glycerol stereoch...  
386 × 496; 50 KB



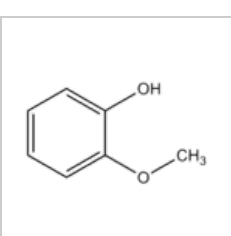
Glycerol.png  
671 × 177; 4 KB



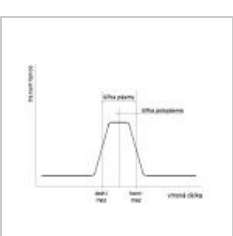
Glycerol2.png  
597 × 145; 3 KB



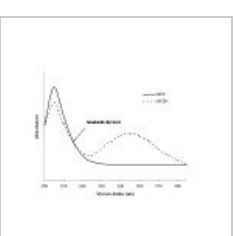
Glycin 2.png  
705 × 600; 90 KB



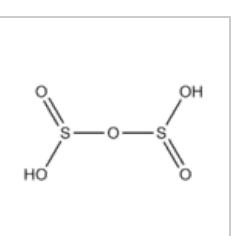
Guajakol.png  
479 × 277; 4 KB



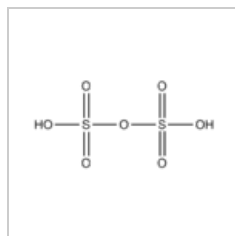
Interferenční filtr...  
960 × 720; 36 KB



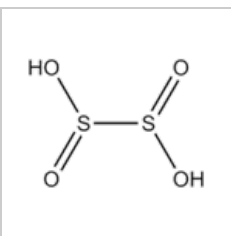
Isosbestický bod....  
960 × 720; 34 KB



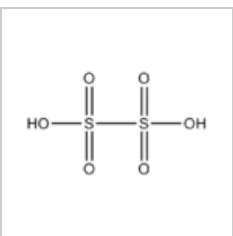
Kyselina disířičitá...  
484 × 264; 4 KB



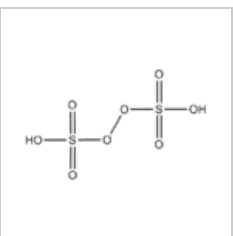
Kyselina disírová....  
608 × 298; 3 KB



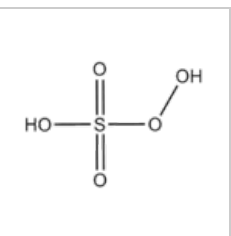
Kyselina dithionič...  
359 × 264; 4 KB



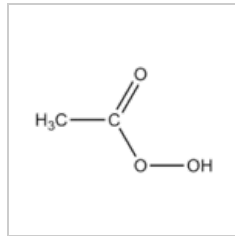
Kyselina dithiono...  
509 × 298; 3 KB



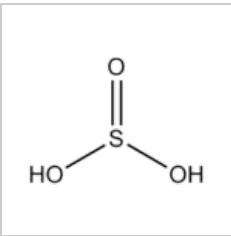
Kyselina peroxod...  
671 × 406; 5 KB



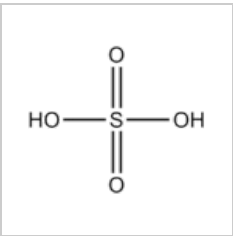
Kyselina peroxyosí...  
421 × 297; 3 KB



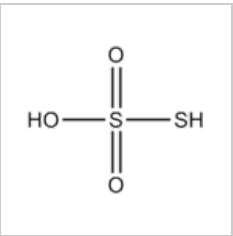
Kyselina peroxyo...  
437 × 263; 3 KB



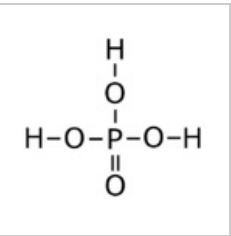
Kyselina siřičitá.p...  
326 × 235; 3 KB



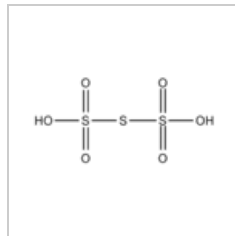
Kyselina sírová.png  
359 × 298; 3 KB



Kyselina thiosíro...  
357 × 298; 3 KB



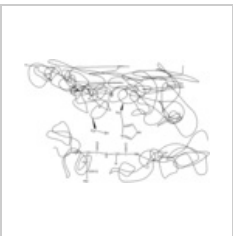
Kyselina trihydro...  
500 × 450; 10 KB



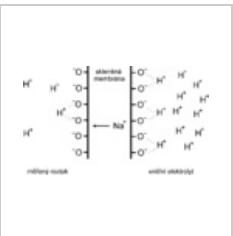
Kyselina trithiono...  
615 × 298; 4 KB



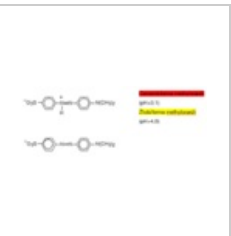
Kvety.jpg  
2,604 × 2,337;  
4.11 MB



Mechanismus ka...  
1,201 × 799; 2.31 MB



Membrána sklen...  
2,172 × 1,270; 12 KB



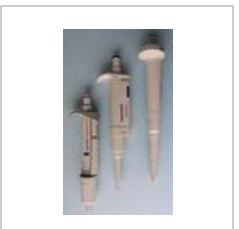
Metyloranž.png  
573 × 215; 18 KB



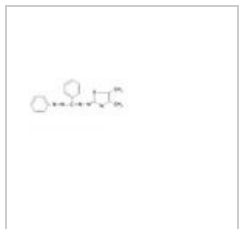
Mg-EDTA.jpg  
1,016 × 144; 16 KB



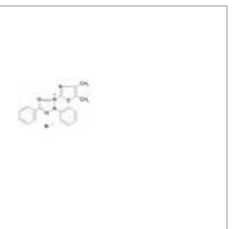
Mg-EČT.jpg  
1,016 × 144; 14 KB



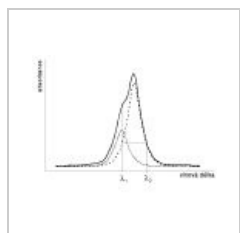
Mikrodávkovače.jpg  
1,459 × 2,448; 724 KB



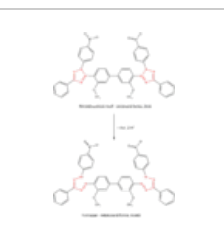
MTT f..JPG  
741 × 352; 10 KB



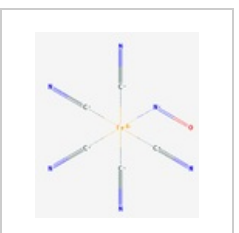
MTT ox..JPG  
741 × 352; 11 KB



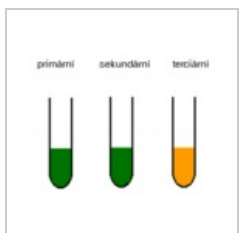
Multikomponentn...  
960 × 720; 36 KB



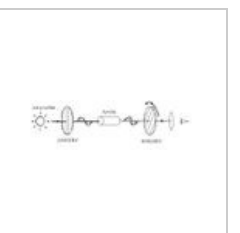
NBT.png  
1,763 × 2,670; 67 KB



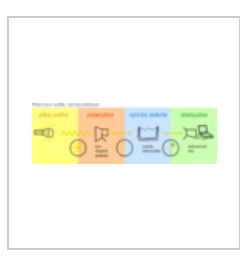
Nitroprusid.png  
338 × 382; 8 KB



Oxidace alkoholů...  
294 × 225; 7 KB



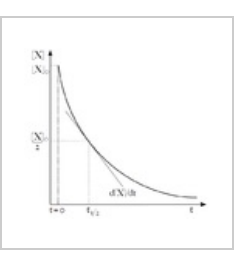
Polarimetrie.JPG  
640 × 170; 14 KB



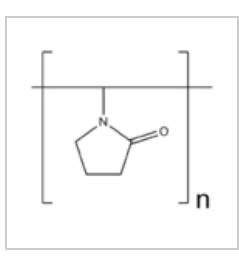
Polarizace světla,...  
2,500 × 806; 257 KB



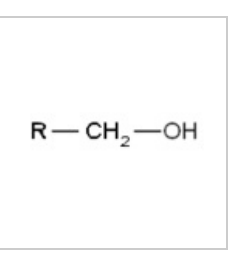
Polohy pipetování...  
505 × 157; 9 KB



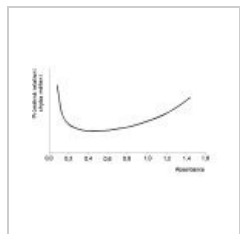
Poločas.png  
638 × 589; 15 KB



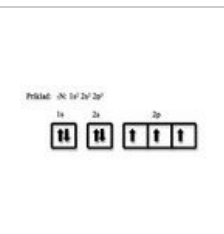
Povidon.png  
620 × 560; 5 KB



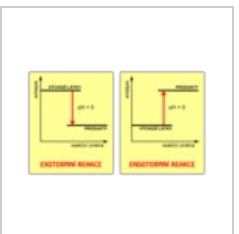
Primární alkohol....  
147 × 32; 1,000 bytes



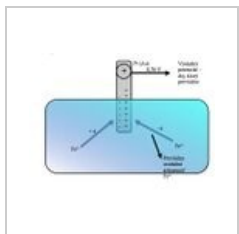
Přesnost fotomet...  
960 × 720; 32 KB



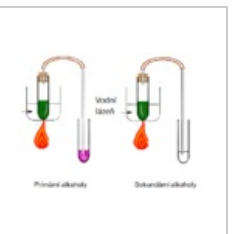
Příklad zaplňování...  
418 × 166; 32 KB



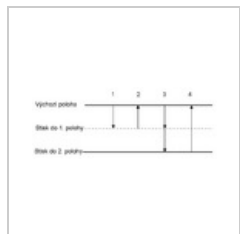
Reakce entalpie....  
600 × 360; 26 KB



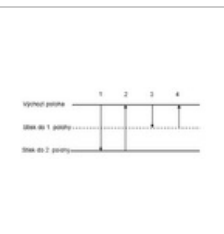
Redoxní potenci...  
561 × 421; 49 KB



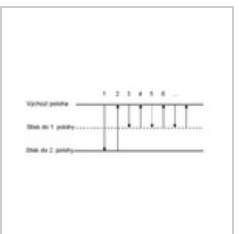
Rozlišení primárn...  
437 × 334; 24 KB



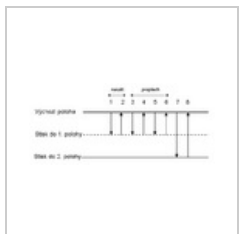
Schema pipetová...  
640 × 243; 13 KB



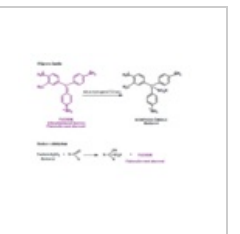
Schema pipetová...  
640 × 246; 13 KB



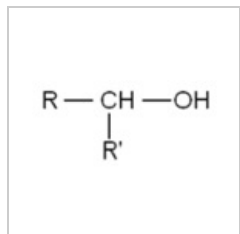
Schema pipetová...  
640 × 243; 15 KB



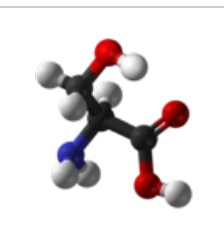
Schema pipetová...  
640 × 281; 18 KB



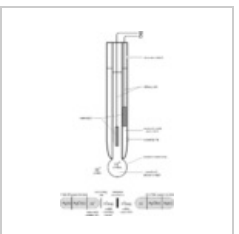
Schiffovo činidlo....  
960 × 720; 134 KB



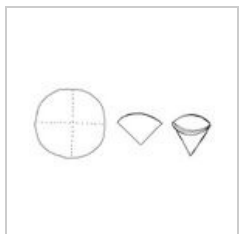
Sekundární alkoh...  
137 × 64; 1 KB



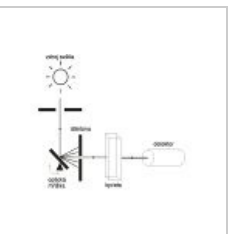
Serin 2.png  
554 × 597; 83 KB



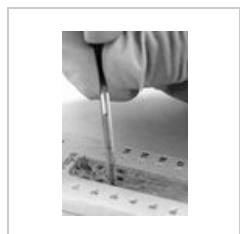
Skleněná elektro...  
517 × 837; 36 KB



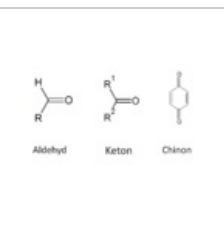
Skládání filtru.jpg  
448 × 206; 9 KB



Spektrofotometr....  
960 × 720; 36 KB



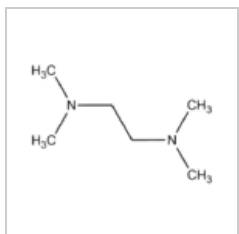
Spektrofotometri...  
304 × 448; 42 KB



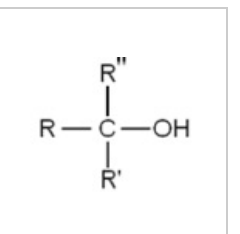
Struktura karbon...  
960 × 720; 7 KB



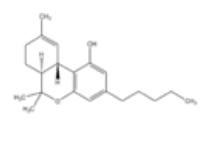
Stříkačkový filtr.j...  
964 × 949; 94 KB



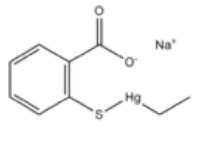
TEMED.png  
579 × 381; 5 KB



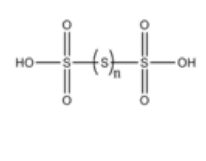
Terciární alkohol....  
135 × 98; 2 KB



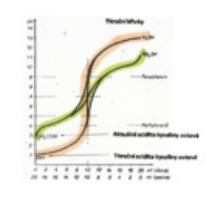
THC.png  
1,233 × 665; 12 KB



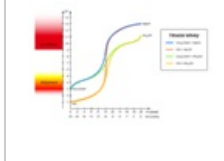
Thimerosal.png  
613 × 388; 6 KB



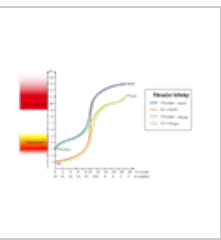
Thionové kyselin...  
615 × 298; 5 KB



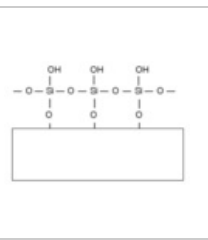
Titrační křivka.png  
724 × 657; 358 KB



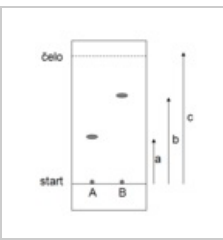
Titrační křivky.png  
1,080 × 720; 74 KB



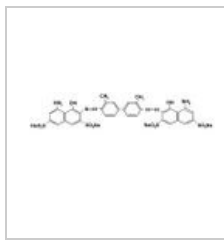
Titrační křivky.svg  
1,080 × 720; 34 KB



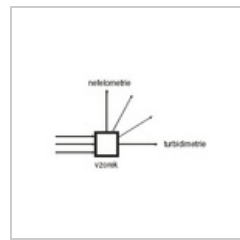
TLC se silikagele...  
350 × 236; 9 KB



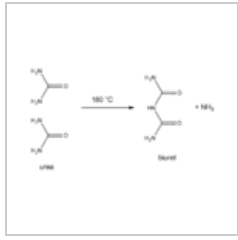
TLC.png  
332 × 374; 9 KB



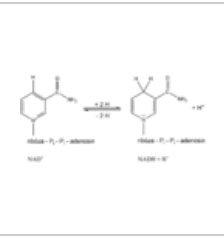
Trypanova modr....  
1,027 × 352; 27 KB



Turbidimetrie a n...  
269 × 150; 3 KB



Vznik biuretu.png  
1,330 × 745; 13 KB



Warburgův test.p...  
1,539 × 740; 18 KB